

## II-15 等流式の特性曲線の検討

九州大学工学部 正員  
同上 正員

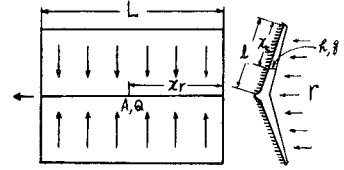
上田年比古  
○ 中野昭

1 まえがき 流出解析における特性曲線法は、解を容易にするためと、急勾配河道では十分近似度が高いといふ観点のもとに、運動方程式に等流式が用いられている。ここでは、この特性曲線法でとられているところの、不定流運動方程式のかわりに等流式を用いる点について、その近似の程度を考察した。すなはち、まず等流式による解にもとづいて、不定流式の各項のオーダーを算定し、さらに、かなり緩勾配河川について、等流式と不定流式による解を比較し検討を行った。

2 斜面流出の基礎方程式 図-1の矩形模型流域で、時刻tにおいて、斜面上流端からの距離 $x_s$ における水深をh、流速をu、単位巾当たりの斜面流量をg、有効降雨強度をr、斜面の等価粗度係数をN、斜面勾配をIとし、抵抗則はmanning式によるとすれば成立つ式は

$$\text{連続式} \quad \frac{\partial h}{\partial t} + \frac{\partial g}{\partial x_s} = r \quad \dots (1)$$

$$\text{運動式} \quad \frac{\partial u}{\partial t} + u \frac{\partial u}{\partial x_s} + g \frac{\partial h}{\partial x_s} = g I - g \frac{N^2 u^2}{h^{4/3}} - \frac{r u}{h} \quad \dots (2)$$



現象の一般化のため次の無次元化を行なう。

$$r/r_0 = \alpha \varphi, \quad x_s/l = \xi, \quad t/T_s = \alpha^{-\frac{2}{3}} t, \quad ) \quad \dots (3)$$

$$g/g_* = \alpha \varphi, \quad h/h_* = \alpha^{\frac{2}{3}} \eta, \quad u/u_* = \alpha^{\frac{2}{3}} w, \quad ) \quad \dots (3)$$

ここで $r_0$ を標準有効降雨強度、 $\alpha$ を定数、 $l$ を斜面長、また $g_*$ を $r_0$ によって流域が走常状態に達した時の斜面下流端流量とすれば、 $g_* = l r_0$   $\dots (4)$

$h_*$ および $u_*$ を等流状態で流れる時の水深および流速とすれば、

$$h_* = (g_*/\sqrt{I})^{3/5} = (l r_0/\sqrt{N})^{3/5} \quad \dots (5)$$

また、 $T_s = h_*/r_0 = (l N/\sqrt{I})^{2/5}/r_0^{2/5} \dots (6)$  とおくと、 $T_s$ は $r_0$ によって流域が走常状態になっている場合、等流式の成立を仮定してえられるところの、斜面上流端の雨水の影響が斜面下流端に達する時間である。したがって、

$$u_* = g_* / h_* = l / T_s \quad \dots (7) \quad \text{また, } g = h u \quad \therefore \varphi = \eta w \quad \dots (8)$$

(3)～(7)式と(1)および(2)式に入れて整理すると、

$$\text{連続式} \quad \frac{\partial \eta}{\partial t} + \frac{\partial \varphi}{\partial \xi} = \gamma \quad \dots (9)$$

$$\text{運動式} \quad D \frac{\partial w}{\partial t} + D w \frac{\partial w}{\partial \xi} + E \frac{\partial \eta}{\partial \xi} = 1 - \frac{w^2}{\eta^{4/3}} - D \frac{\partial w}{\eta} \quad \dots (10)$$

$$\text{ここで} \quad D = \frac{\alpha^{\frac{2}{3}} l}{g I T_s^{2/5}} = \frac{(\alpha r_0)^{\frac{2}{3}}}{g l^{\frac{2}{3}} N^{\frac{2}{5}} I^{\frac{2}{5}}}, \quad E = \frac{\alpha^{\frac{2}{3}} T_s r_0}{l I} = \frac{(\alpha r_0 N)^{\frac{2}{3}}}{l^{\frac{2}{3}} I^{\frac{10}{3}}} \quad \dots (11)$$

3 河道流出の基礎方程式 図-1で、時刻tにおいて、河道上流端からの距離 $x_r$ における流積をA、水深をH、流量をQ、流速をV、径深をR、河道長をL、斜面から流入する単位長さ当たりの流量を $\varphi$ 、また河道を上下流同一断面とし、その河道勾配をi、等価粗度

係数を  $k$  とし、次式の定義による断面の係数を  $\gamma$ 、 $\rho$  とする。

$$AR^{2/3} = k A^{\rho} \quad \dots (12) \quad \text{また, } K = \frac{\sqrt{L}}{m} k \quad \dots (13)$$

以上のように定義し抵抗則に Manning 式を用いれば、成立する式は、

$$\text{連続式} \quad \frac{\partial A}{\partial t} + \frac{\partial Q}{\partial x_r} = \gamma g \quad \dots (14)$$

$$\text{運動式} \quad \frac{\partial V}{\partial t} + V \frac{\partial V}{\partial x_r} + g \frac{\partial H}{\partial x_r} = g \dot{V} - g \frac{m^2 V^2}{R^{4/3}} - \frac{\gamma g}{A} \quad \dots (15)$$

現象の一般化のため次の無次元化を行う。

$$x_r/L = \lambda, \quad t/T_s = \alpha^{-\frac{2}{3}} T, \quad g/g_* = \alpha \varphi, \quad ) \quad \dots (16)$$

$$Q/Q_* = \alpha \psi, \quad V/V_* = \alpha^{1-\frac{1}{p}} V, \quad A/A_* = \alpha^{\frac{1}{p}} S,$$

$Q_*$  を標準降雨  $R_0$  によって流域が正常状態に達した時の流域下流端流量、 $F$  を流域面積とすれば、 $Q_* = FR_0$   $\dots (17)$

$A_*$  および  $V_*$  と  $Q_*$  が等流状態で流れるとの流速および流速とすれば、

$$Q_* = \frac{\sqrt{L}}{m} A_* R_*^{\frac{2}{3}} = \frac{\sqrt{L}}{m} k A_*^{\rho} = K A_*^{\rho} \quad \therefore A_* = (\frac{Q_*}{K})^{\frac{1}{\rho}} = (\frac{FR_0}{K})^{\frac{1}{\rho}} \quad \dots (18)$$

また、 $T_r = A_* / F = L / (FR_0)^{1/p} K^{\frac{1}{\rho}}$   $\dots (19)$  とおくと、 $T_r$  は  $R_0$  によって流域が正常状態になっている場合、等流式の成立を仮定してえらぶると、河道上流端の雨水の影響が下流端に達する時間である。したがって

$$V_* = Q_* / A_* = L / T_r \quad \dots (20) \quad \text{また, } Q = A V \quad \therefore \psi = S V \quad \dots (21)$$

次に  $H$  を水深、 $S$  を定数、 $W$  を  $x_r$  の関数として、 $A = W H^S$   $\dots (22)$  とおく。いま、 $W/W_* = w$ 、 $H/H_* = \alpha^{\frac{1}{p}} \lambda$  ( $w_*$  は  $W$  の標準値、 $H_* = (A_* / W_*)^{\frac{1}{S}}$ )  $\dots (23)$  とすると、この式と  $A = A_* \alpha^{\frac{1}{p}} S$  とから(22)式は  $S = W \lambda^S$   $\dots (24)$

以上を(14)および(15)式に入れて整理すると、

$$\text{連続式} \quad \frac{\partial S}{\partial t} + \frac{1}{m'} \frac{\partial \psi}{\partial \lambda} = \frac{\psi}{m'} \quad \dots (25)$$

$$\text{運動式} \quad G' \frac{\partial V}{\partial t} + GV \frac{\partial V}{\partial \lambda} + JS \frac{\partial \lambda}{\partial \lambda} = 1 - \frac{V^2}{S^{2(p-1)}} - G \frac{V \psi}{S} \quad \dots (26)$$

$$\text{ここで } m' = \alpha^{\frac{1}{p}-\frac{2}{3}} \cdot m = \alpha^{\frac{1}{p}-\frac{2}{3}} \frac{T_r}{T_s} \quad \dots (27) \quad \text{また, } p=1.45, \quad S=1.5 \quad \text{とすれば},$$

$$G = \frac{\alpha^{2/(p-1)} \cdot L}{g^2 T_r^2} = \frac{(\alpha R_0 B)^{0.62} \cdot L^{1.23}}{g L^{0.38} m^{1.38} \lambda^{0.31}}, \quad G' \equiv m' G = \frac{Z^{0.6} (\alpha R_0)^{0.61} K^{0.69} L^{0.31} I^{0.30}}{g m^{0.49} B^{0.29} N^{0.6} \lambda^{0.65}}, \quad J \equiv \frac{\alpha^{1/p}}{L \cdot S} \left( \frac{F}{K} R_0 T_r \right)^{\frac{1}{p}} = \frac{(\alpha R_0 B m)^{0.46}}{R^{0.66} L^{0.34} \lambda^{1.23} \cdot 1.5 W_0^{2/3}} \quad \dots (28)$$

上下流同一断面として、 $W = W_*$   $\therefore w=1$  とすれば、

$$\text{運動式} \quad G' \frac{\partial V}{\partial t} + GV \frac{\partial V}{\partial \lambda} + JS^{1-p} \frac{\partial \lambda}{\partial \lambda} = 1 - \frac{V^2}{S^{2(p-1)}} - G \frac{V \psi}{S} \quad \dots (26)'$$

4 等流式による斜面流出の解 等流を考慮すれば前出の斜面流出の基礎方程式(9)(10)式は

$$\text{連続式} \quad \frac{\partial \eta}{\partial t} + \frac{\partial \psi}{\partial \lambda} = \gamma \quad \dots (9)$$

$$\text{運動式} \quad 1 - \frac{w^2}{\eta^{2p}} = 0 \quad \text{したがって (8)式より} \quad \psi = \eta^{\frac{2}{p}} \quad \dots (29)$$

(29)を(9)式に入れれば、 $\frac{\partial \eta}{\partial t} + \frac{2}{3} \eta^{\frac{2}{p}} \frac{\partial \eta}{\partial \lambda} = \gamma \quad \dots (30)$  これを特性曲線表示すれば、

$$\text{特性曲線} \quad \frac{d\lambda}{dt} = \frac{2}{3} \eta^{\frac{2}{p}} \quad \text{上にて,} \quad \frac{d\eta}{dt} = \gamma \quad \dots (31)$$

対象降雨として等辺三角形降雨を考える。降雨時間  $t_d$ 、降雨強度の時間的増加およ

び減少率を  $\alpha$  とすれば、増加部分 ( $0 < t < t_a/2$ ) の降雨に対して、

$$\alpha \gamma = R/R_0 = at/R_0 = aT_s \alpha^{-\frac{2}{3}} \tau / R_0, \quad \text{したがって} \quad \gamma = \tau, \quad \alpha = (aT_s/R_0)^{\frac{3}{7}} \dots (32)$$

減少部分の降雨に対して、

$$\alpha \gamma = R/R_0 = a(t_a-t)/R_0 = aT_s \alpha^{-\frac{2}{3}} (\tau - \tau_a) / R_0, \quad \text{したがって} \quad \gamma = \tau - \tau_a, \quad \alpha = (aT_s/R_0)^{\frac{3}{7}} \dots (33)$$

いま斜面上流端を  $\tau = 1.2$  および  $\tau = 1.451$  に出发する 2 本の特性曲線上の各点またはてにおける  $w$  の値を求め、 $\frac{\Delta w}{\Delta \tau}$ ,  $w \frac{\Delta w}{\Delta \tau}$ ,  $\frac{\Delta \eta}{\Delta \tau}$  を近似的に  $\frac{\Delta w}{\Delta \tau}$ ,  $w \frac{\Delta w}{\Delta \tau}$ ,  $\frac{\Delta \eta}{\Delta \tau}$  に等しいと考えて求め、さらに  $\frac{\Delta w}{\Delta \eta}$  を求めた。図-3 にその結果を示す。

さらに、対象降雨として  $R_0 = 10 \text{ mm/hr}$ ,  $a = 6$ , 対象流域として遠賀川本川日出橋上流斜面 ( $l = 1,500 \text{ m}$ ,  $I = 1/5$ ,  $N = 1.0$  (m.s 単位)) を考えると、(11)式の  $D = 6.77 \times 10^{-6}$ ,  $E = 5.91 \times 10^{-4}$  となり、これらと図-3 の各値より運動方程式(10)式の各項の大きさを求めれば図-4 となる。

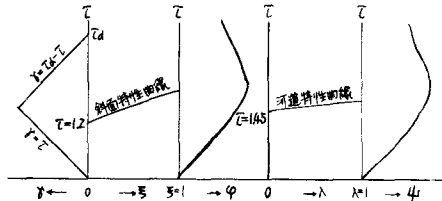


図-2 斜面および河道特性曲線図

5 等流式による河道流出の解 等流を考えると前出の河道流出の基礎方程式(25)(26)式は

$$\text{連続式} \quad \frac{\partial S}{\partial \tau} + \frac{1}{m'} \frac{\partial \Phi}{\partial \lambda} = \frac{\Phi}{m'} \quad \dots (25)$$

$$\text{運動式} \quad 1 - \frac{V^2}{S^{2(p-1)}} = 0 \quad \text{したがって (21) 式より} \quad \Phi = S^p \quad \dots (34)$$

(34)式を(25)式に入れるとき、 $\frac{\partial S}{\partial \tau} + \frac{pS^{p-1}}{m'} \frac{\partial \Phi}{\partial \lambda} = \frac{\Phi}{m'}$   $\dots (35)$  これを特性曲線表示すれば、

$$\text{特性曲線} \quad \frac{d\lambda}{d\tau} = \frac{pS^{p-1}}{m'} \quad \text{上にて}, \quad \frac{d\Phi}{d\tau} = \frac{\Phi}{m'} \quad \dots (36)$$

前項の 2 等辺三角形降雨で、河道上流端を  $\tau = 1.45$  および  $\tau = 1.451$  に出发する 2 本の特性曲線上の各点またはてにおける  $S$ ,  $V$  を求め、 $\frac{\Delta V}{\Delta \tau}$ ,  $V \frac{\Delta V}{\Delta \lambda}$ ,  $S^{p-1} \frac{\Delta S}{\Delta \lambda}$  を近似的に  $\frac{\Delta V}{\Delta \tau}$ ,  $V \frac{\Delta V}{\Delta \lambda}$ ,  $S^{p-1} \frac{\Delta S}{\Delta \lambda}$  に等しいと考えて求め、さらに  $\frac{\Delta V}{\Delta S}$  を求めた。図-5 にその結果を示す。

次に斜面の場合と同様、山間部河川志賀瀬川 ( $F = 50 \text{ km}^2$ ,  $L = 12,000 \text{ m}$ ,  $i = 1/50$ ,  $K = 1.0$ ,  $T_s = 21,770 \text{ sec}$ ,  $T_r = 2,595 \text{ sec}$ ,  $m' = 0.140$ ) については  $G = 2.76 \times 10^{-2}$ ,  $G' = 3.87 \times 10^{-3}$ ,  $J = 1.32 \times 10^{-2}$ , また後勾配河川遠賀川本川日出橋上流 ( $F = 369.9 \text{ km}^2$ ,  $L = 38,340 \text{ m}$ ,  $i = 1/730$ ,  $K = 0.2$ ,  $T_s = 21,770 \text{ sec}$ ,  $T_r = 12,622 \text{ sec}$ ,  $m' = 0.681$ ) については  $G = 5.45 \times 10^{-2}$ ,  $G' = 3.70 \times 10^{-2}$ ,  $J = 3.03 \times 10^{-1}$ , となりこれらと図-5 の各値より運動方程式(27)式の各項の大きさを求めれば図-6 および 7 となる。

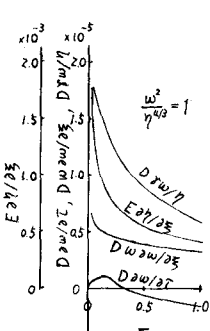
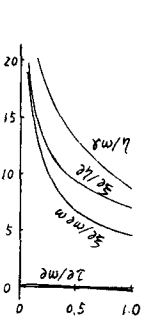


図-3

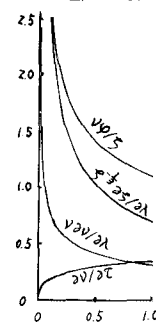


図-5

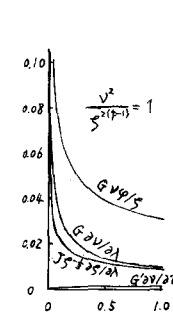


図-6

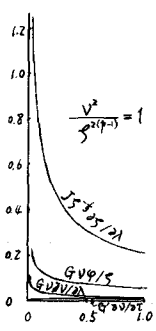


図-7

6 運動方程式の検討 圖-3 および圖-5 からわかるように、無次元化された各微分値  $\frac{\partial w}{\partial z}$  などの値は、互いにそれほど大きな差ではなく、したがって運動方程式の各項の大きさを決定する要素は係数 D, E, あるいは G, G' および丁の値であることがわかる。斜面流出の場合、対象斜面の D および E が大きめで小さく、したがって圖-4 に示すように摩擦項および重力の項の丁に対して、これ以外の項は無視しうる。すなわち、等流式を用いても十分の精度をもつものと考えられる。河道流出の係数は(27)式に示すように、G については  $\frac{1}{2}$ ,  $\frac{1}{2}$  の影響が大きく、丁についてはこの影響が大きい。また流域が相似形で増大していく場合、流域面積の大小が G, G' および丁に与える影響は小さい。圖-6 にみられるように山間部流域では各項の値はかなり小さな値となり、したがって摩擦項および重力の項の丁に対して、その他の項は無視しうると考えられる。しかし遠賀川流域河道はかなり緩勾配河道であり丁が大きいため、圖-7 にみられるように、水深変化の項  $D \frac{1}{2} - \frac{2}{3} \frac{1}{2}$  が大きな値を示している。したがってこの場合に等流式を用いることは、若干の誤差を生ずるものと考えられるのでこれについてさらに検討を行った。

## 7 流出方程式の厳密解と等流式による近似解の比較

ここでは遠賀川本川昭和30年7月洪水について、横からの流入量を与えて、これに対する不走流運動方程式による解<sup>(註)</sup>、すなわち流出方程式の厳密解と等流式による近似解とを比較した。その結果を圖-7 に示す。

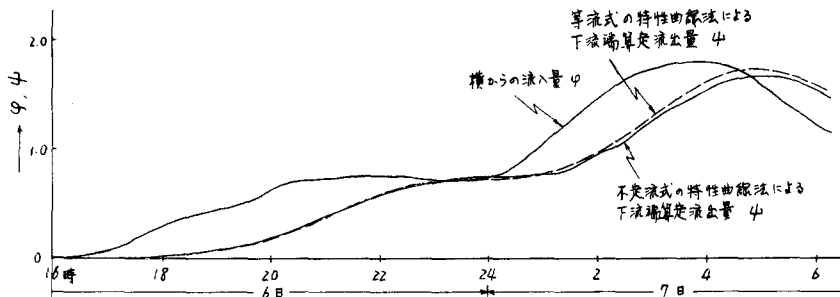


圖-8 遠賀川本川 昭和30年7月洪水算定図

8 結論 以上を総括すると斜面流出の不走流運動方程式においては摩擦力と重力の項に比してこれ以外の項は小さく、したがってこれらを無視した等流の式を不走流の式に代用してよい。河道流出では、不走流運動方程式の中の水深変化の項が大きくなる傾向をもち、これは  $j^{1/2}$  に逆比例する。計算の結果、山間部にみられるような急勾配河道に対しては摩擦力と重力の項に比してこれ以外の項は、斜面流出の場合ほどではないが、なおかなり小さく等流式を代用してよい。しかし遠賀川日の出橋上流(平均勾配 1/730)のような中流域度の緩勾配河川になると水深変化による項がかなり大きくなるが、不走流式による解と等流式による解を比較すると、この項を省いたために生ずる誤差は比較的小さくなつた。したがって、未解決の問題が多く、流出量算定の精度がまだかなり劣っている現在の段階では、等流式を用いてもその誤差は許容しうると考えられる。

(註) 不走流運動方程式の解法および計算法は、上田年比五：特性曲線による不走流計算法の簡易化、第16回土木学会年次講演会概要、昭36, 5,